



## بررسی و مقایسه خواص مکانیکی و ریزساختار کامپوزیت Al/CNT و کامپوزیت هیبریدی Al/CNT/Al<sub>2</sub>O<sub>3</sub> تولید شده توسط فرایند نورد اتصال انباشتی ترکیبی

علی تابش<sup>1</sup>، غلامرضا ابراهیمی<sup>2</sup>، حمیدرضا عزت پور<sup>3</sup>

1- دانشجوی کارشناسی ارشد، مهندسی مواد، دانشگاه حکیم سبزواری، سبزوار

2- دانشیار، مهندسی مواد، دانشگاه حکیم سبزواری، سبزوار

3- استادیار، مهندسی مواد، دانشگاه فن آوری های نوین، سبزوار

\* سبزوار، صندوق پستی 16846-13114

ebrahimi@hsu.ac.ir

### چکیده

فرایند اتصال نورد انباشتی یکی از روش‌های تغییر شکل پلاستیک شدید برای تولید مواد فوق ریزدانه با استحکام بالا می‌باشد. در این پژوهش از فرایند جدید اتصال نورد انباشتی ترکیبی برای تولید کامپوزیت زمینه آلومینیومی تقویت شده با ذرات آلومینا و نانولوله‌ی کربنی استفاده شد. این فرایند در واقع ترکیبی از روش اتصال نورد انباشتی همراه با آنل متناوب و روش اتصال نورد انباشتی مقاطع می‌باشد. این فرایند شامل دو مرحله است. در مرحله‌ی اول افزون تقویت کننده همراه با اتصال نورد انباشتی در چهار پاس ابتدایی نورد، به همراه آنل ورق‌ها پس از هر پاس بمدت یک ساعت در دمای 350 درجه سانتی‌گراد و در مرحله‌ی دوم اتصال نورد انباشتی بدون اضافه کردن تقویت کننده و بدون آنل، انجام شد. در هر دو مرحله پس از هر پاس نورد، ورق‌ها به اندازه‌ی 90 درجه در جهت ساعتگرد چرخیده و سپس نورد شدند. کامپوزیت زمینه آلومینیومی با 1٪ وزنی تقویت کننده‌ی نانولوله‌ی کربنی تا 11 پاس و کامپوزیت هیبریدی نانولوله‌ی کربنی با 1٪ وزنی نانولوله‌ی کربنی و 2٪ وزنی آلومینا تا 9 پاس نورد تولید شدند. نتایج XRD نشان دهنده ایجاد دانه‌های زمینه آلومینیومی با 1٪ وزنی نانولوله‌ی کربنی و 2٪ وزنی آلومینا تا 9 پاس نورد تولید شدند. نتایج آزمون کشش نشان می‌دهد که با افزایش پاس در هر دو فرعی در حد ابعاد نانومتری در پاس انتهایی در هر دو کامپوزیت می‌باشند. نتایج آزمون کشش نشان می‌دهد که با استحکام در کامپوزیت Al/CNT/Al<sub>2</sub>O<sub>3</sub> نسبت به کامپوزیت Al/CNT در پاس‌های مشابه مقدار بیشتری را نشان می‌دهد. همچنین تصاویر میکروسکوپ الکترونی تأیید می‌کند که توزیع خوب تقویت کننده‌ها بین ورق‌ها در پاس آخر نورد حاصل می‌گردد.

## The investigation and comparison of mechanical propertise and microstructure Al/CNT and Al/CNT/Al<sub>2</sub>O<sub>3</sub> copmosites produced by mixed accumulative roll bounding

Ali Tabesh<sup>1</sup>, Gholamreza Ebrahimi<sup>1\*</sup>, Hamidreza Ezatpour<sup>2</sup>

1 - Department of Materials and Polymer Engineering, Hakim Sabzevari University, Sabzevar, Iran

2- Faculty of Engineering, Sabzevar University of New Technology, Sabzevar, Iran.

\* P.O.B. 16846-13114, sabzevar, Iran, ebrahimi@hsu.ac.ir

### Keywords

Hybrid composite  
Mixed accumulative roll bonding process  
Carbon nanotube  
Mechanical properties

### Abstract

Accmulative roll bonding prcess is one of severe plastic deformation procedures for produce high strength-ultrafine grain materials. In this investigation, the new method of mixed accumulative roll bonding was used to produce Al-based composite reinforced with carbon nanotube and alumina. This method is mixed of Continual Annealing roll Bonding and cross roll accumulative roll bonding procedures. This process has two steps. The first step is reinforcement adding with accumulative roll bonding in four rolling passes and annealing for one hour and 350°C after any pass. The next step is accumulative roll bonding without adding reinforcement and annealing. After any rolling pass, strips rotate 90° in each step and then rolled. In this process 11 rolling passes perform on Al/(1%wt CNT) composite and 9 rolling passes on Al/(1%wt)CNT/(2%wt) AL<sub>2</sub>O<sub>3</sub> composite. X-ray diffraction result show that grain size is about nanometer in final rolling pass for both composite and with increase pass number increases tensile strength and elongation decrease first and then increases. strenght in Al/CNT/Al<sub>2</sub>O<sub>3</sub> composite is higher than Al/CNT composite at the same rolling pass. FESEM picture show that reinforced distribution was well in final rolling pass.

**1- مقدمه**

تولید شده به روش اتصال نورد انباشتی متقاطع نسبت به کامپوزیت تولید شده به روش اتصال نورد انباشتی پس از 8 پاس 10% افزایش و انعطاف-پذیری حدود 3% افزایش داشته است [14]. روش جدید اتصال نورد انباشتی ترکیبی، در واقع ترکیبی از روش نورد انباشتی متقاطع و روش نورد انباشتی با آنیل متناوب می‌باشد، بگونه‌ای که مزیت‌های هر دو روش را دارا می‌باشد. هدف از این پژوهش تولید کامپوزیت به روش اتصال نورد انباشتی ترکیبی می‌باشد که محصول نهایی، استحکام بالای محصول تولید شده به روش نورد انباشتی متقاطع و نیز انعطاف‌پذیری مطلوب محصول تولید شده به روش نورد انباشتی با آنیل متناوب را داشته باشد. مطالعات ریزساختاری در این تحقیق توسط میکروسکوپ الکترونی روبشی (FESEM) انجام شده است. جهت بررسی تغییرات خواص مکانیکی با افزایش پاس نورد، از آزمون کشش تک محور استفاده شد. راستای نمونه‌های برش یافته توسط دستگاه واپر کات در جهت نورد پاس پایانی بوده است. همچنین بمنظور بررسی تغییرات اندازه دانه‌های فرعی در پاس‌های مختلف نورد، از آنالیز پراش پرتو ایکس استفاده شد. در پایان میکروسختی ورق‌ها در جهت ضخامت اندازه‌گیری شده و تغییرات میکروسختی با افزایش پاس بررسی شده است.

**2- مواد و روش‌ها**

در این تحقیق از ورق آلمینیوم 1050 با ابعاد  $80 \times 80 \times 0.5\text{ mm}^3$  آنیل شده به مدت 1 ساعت در دمای  $350^\circ\text{C}$  و در اتمسفر محیط به عنوان آلیاژ زمینه و از نانولوله‌کربنی چند جداره و ذرات آلومنیا با سایز متوسط  $0.4\text{ }\mu\text{m}$  بعنوان تقویت کننده استفاده شده است. ترکیب شیمیایی ورق آلمینیوم استفاده شده، در جدول 1 نشان داده شده است. ابتدا ورق‌ها به منظور روغن‌زدایی و تمیزکاری سطحی به مدت 10 دقیقه در استون غوطه‌ور و سپس با پنبه خشک و تمیز شدند. در ادامه با برس سیمی فولادی برس-کاری شده تا لایه‌های اکسیدی سطح ورق‌ها شکسته و زبری مناسب روی سطح ورق‌ها ایجاد شود. جهت تولید کامپوزیت هیبریدی با تقویت کننده‌ی نانولوله‌کربنی و آلومنیا، به منظور اختلاط کامل، مخلوط نانولوله‌کربنی و آلومنیا با نسبت 1 به 2 در آسیاب گلوله‌ای به مدت یک ساعت و در اتمسفر گاز آرگون آسیاب شدند. دو ورق که تقویت کننده‌ها توسط الک بین آن‌ها پاشیده شده روی هم قرار داده و چهار گوشه آن توسط سیم مسی مسی جهت جلوگیری از لغزش ورق‌ها حین نورد بسته شدند. فرایند اتصال نورد انباشتی ترکیبی انجام شده در تحقیق حاضر شامل دو مرحله بود:

مرحله اول: شامل افزودن ذرات تقویت کننده بین ورق‌های آلمینیوم به همراه آنیل بین پاسی بود. به منظور توزیع یکنواخت تقویت کننده‌ها، در هر مرحله نورد پس از افزودن آنها، ورق‌ها 90 درجه حول محور عمود بر جهت نورد چرخیده و سپس نورد شدند.

**جدول 1** ترکیب شیمیایی آلمینیوم استفاده شده در این تحقیق (درصد وزنی)

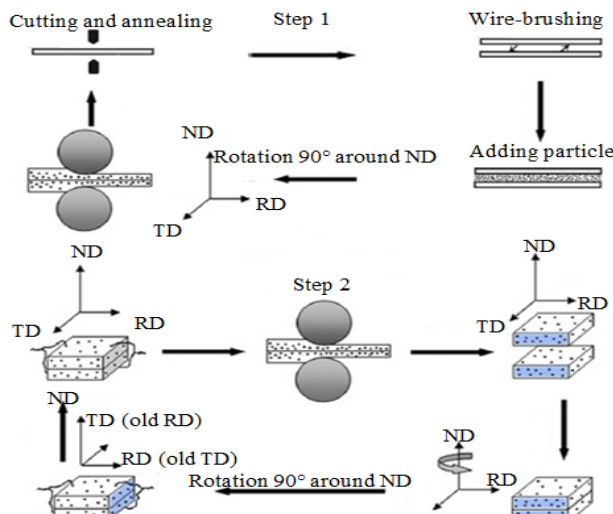
نام آلیاژ	درصد وزنی	نام آلیاژ	درصد وزنی
آلومینیوم	99.54	منگنز	0.010
آهن	0.157	کروم	0.006
سلیسیوم	0.172	وانادیوم	0.016
مس	0.0025	استرانسیوم	0.003
نیکل	0.0019	-	-

امروزه بررسی روش‌های تولید و خواص مکانیکی مواد فوق ریزدانه با اندازه دانه‌های نانومتری موضوع بسیاری از تحقیقات انجام شده در زمینه‌ی علم مواد بوده است. این مواد خواص بی‌نظیری همچون استحکام بالا در دمای محیط، خاصیت سوپر پلاستیک در دمای بالا و نرخ کرنش کم، مقاومت در برابر سایش، استحکام خستگی بالا و مقاومت عالی در برابر خوردگی را ز خود نشان می‌دهد. [1, 2]. فرایندهای تغییر شکل پلاستیک شدید بعنوان یکی از روش‌های تولید مواد با اندازه‌ی دانه نانومتری می‌باشند. در این فرایندها کرنش پلاستیکی شدیدی بدون تغییر در ابعاد ورق بر آن وارد شده و منجر به تولید ساختار فوق ریز دانه و در نتیجه افزایش استحکام می‌گردد [3]. یکی از روش‌های تغییر شکل پلاستیک شدید برای تولید مواد با ساختار نانومتری، فرایند اتصال نورد انباشتی می‌باشد که توسط ساتیو و همکارانش معروف شده است [5]. در این فرایند چند لایه‌ی فلزی به هم چسبیده و نورد می‌شوند تا اینکه به درجه‌ی کافی از تغییر شکل برسند. با افزایش کرنش و کاهش ضخامت مواد، در نهایت به دلیل کارسختی اعمال شده به نوارهای فلزی، میزان افزایش تغییر شکل چهار محدودیت می‌گردد. در فرایند اتصال نورد انباشتی، ورقی که توسط فرایند نورد 50 درصد کاهش ضخامت داده شده است، به دو قسمت بربد می‌شود و سپس این دو ورق روی هم قرار داده شده و نورد تکرار می‌گردد [6]. از این فرایند می‌توان برای ساخت ورق‌های کامپوزیت نیز استفاده کرد تا علاوه بر دستیابی به خواص مکانیکی بهتر ناشی از خود فرایند تغییر شکل پلاستیک شدید، از خواص تقویت کننده‌ها نیز در جهت بهبود خواص مکانیکی ورق‌ها بهره برد [7]. برای این منظور در پاس-های ابتدایی نورد، تقویت کننده‌ها تا درصد وزنی مورد نظر بین ورق‌ها بطور یکنواخت پراکنده شده و سپس نورد انجام می‌شود. در این تحقیق از نانولوله‌ی کربنی بدليل داشتن مدول الاستیک بالا و همچنین از ذرات آلومنیا بدليل داشتن سختی بالا جهت تولید کامپوزیت استفاده شد [8]. از فرایندهای توسعه یافته‌ی فرایند اتصال نورد انباشتی، می‌توان به روش اتصال نورد انباشتی همراه با آنیل متناوب و روش اتصال نورد انباشتی متقاطع اشاره کرد. در روش اتصال نورد انباشتی همراه با آنیل متناوب، در ابتدای هر پاس عملیات آنیل انجام می‌شود و تا پاس انتهایی آنیل تکرار می‌شود [9]. عملیات آنیل باعث می‌شود محصول نهایی نسبت به فرایند اتصال نورد انباشتی در پاس‌های مشابه استحکام کمتر ولی انعطاف‌پذیری بالاتری داشته باشد [10]. روش اتصال نورد انباشتی متقاطع بدون آنیل انجام می‌شود و در هر پاس نورد، ورق به اندازه‌ی 90 درجه حول محور ND (محور عمود بر جهت نورد) چرخش می‌کند و سپس نورد می‌شود [11]. محصول نهایی در این روش در پاس مشابه دارای استحکام بیشتری نسبت به فرایند اتصال نورد انباشتی می‌باشد [12]. در یک تحقیق که توسط طرقی نزد و جماعتی انجام شد، کامپوزیت Al/SiO<sub>2</sub> با سایز متوسط کمتر از 50 μm توسط روش اتصال نورد انباشتی با آنیل متناوب تولید شد. نتایج نشان داد استحکام کامپوزیت پس از 6 پاس، نسبت به استحکام ورق آلمینیوم آنیل شده اولیه 75٪ افزایش و انعطاف‌پذیری کامپوزیت با افزایش پاس ابتدا کاهش و سپس افزایش یافته و در پاس 6 به میزان 70٪ انعطاف‌پذیری ورق آلمینیوم آنیل شده‌ی اولیه می‌رسد [13].

در تحقیق دیگری که توسط علیزاده صورت گرفت کامپوزیت Al/B<sub>4</sub>C با سایز متوسط ذرات 4 μm با دو روش اتصال نورد انباشتی و اتصال نورد انباشتی متقاطع تولید شد. با بررسی نتایج مشاهده شد استحکام کامپوریت

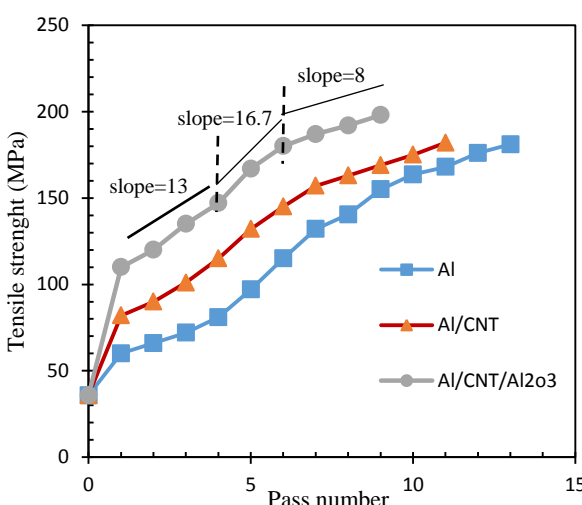
اطراف آنها و ایجاد کارسختی بیشتر می‌باشد. بنابراین در مورد مکانیزم استحکامدهی در کامپوزیت Al/CNT/Al<sub>2</sub>O<sub>3</sub> علاوه بر افزایش میزان تقویت کننده‌ها که باعث افزایش استحکام می‌شود می‌توان به مکانیزم استحکامدهی اورون نیز اشاره کرد [21]. شب نمودار در سه منطقه برای کامپوزیت Al/CNT/Al<sub>2</sub>O<sub>3</sub> نشان داده شده است.

میزان درصد افزایش استحکام کششی برای آلومینیوم خالص و کامپوزیتهای Al/CNT/Al<sub>2</sub>O<sub>3</sub> و Al/CNT نسبت به استحکام کششی ورق آلومینیوم آنل شده (35 MPa) محاسبه و در جدول 2 گزارش شده است. همانگونه مشاهده می‌شود بیشترین درصد افزایش استحکام کششی در پاس 9 برای آلومینیوم خالص به میزان 334% و برای کامپوزیت Al/CNT به میزان 394% و برای کامپوزیت Al/CNT/Al<sub>2</sub>O<sub>3</sub> به میزان 465% می‌باشد. از این اعداد نتیجه می‌شود استحکام کششی در پاس 9 کامپوزیت Al/CNT به میزان 60% بیشتر از استحکام کششی آلومینیوم خالص در پاس 9 افزایش داشته است.



**Fig. 1** Schematic illustration of mixed accumulative roll bonding process

شکل 1 شماتیک فرایند نورد تجمیعی اباحتی ترکیبی



**Fig. 2** variation of ultimate tensile strength vs. pass number for pure aluminum, Al/CNT and Al/CNT/Al<sub>2</sub>O<sub>3</sub> composites

شکل 2 تغییرات استحکام کششی نهایی آلومینیوم خالص، کامپوزیت Al/CNT و کامپوزیت Al/CNT/Al<sub>2</sub>O<sub>3</sub> با افزایش پاس نورد

برای تولید هر دو کامپوزیت میزان تقویت کننده‌ها به چهار قسمت مساوی تقسیم شده و در چهار پاس ابتدای نورد در هر پاس به میزان 0.25 درصد وزنی قبل از هر پاس، بین ورق‌ها توزیع گردید. همچنین جهت افزایش شکل‌پذیری ورق‌ها، پس از هر پاس نورد در این مرحله، نمونه‌ها در دمای 350°C پذیری ورق‌ها، پس از هر پاس نورد تا قابلیت شکل‌پذیری ورق‌های نورد شده بمنظور انجام پاس‌های بعدی افزایش یابد (چهار پاس ابتدایی) تا توزیع بهتری از تقویت کننده‌ها بدست آید [15, 16]. لازم به ذکر است سرعت نورد در مرحله اول 15 rpm بوده است.

مرحله دوم: به منظور افزایش کارسختی و استحکام نهایی ورق‌های تولیدی، فرایند نورد در این مرحله بدون افزودن تقویت کننده‌ها ادامه یافت، تا در نهایت ورق دچار پارگی گردد. همچنین جهت توزیع یکنواخت تقویت-کننده‌ها، پس از پایان هر پاس نورد در این مرحله، نمونه‌ها 90 درجه حول محور عمود بر جهت نورد چرخیده شدند. سرعت نورد در مرحله دوم 25 rpm تنظیم شد. برای اتصال بهتر ورق‌ها در هر دو مرحله، ورق‌ها قبل از نورد به مدت 5 دقیقه در دمای 200°C پیشگرم شدند. در صد کاهش ضخامت در تمام پاس‌های نورد 50% بود. کامپوزیت زمینه آلومینیومی با 1% درصد وزنی نانولوله کربنی بعنوان تقویت کننده حداکثر تا 11 پاس نورد و کامپوزیت زمینه آلومینیومی هیبریدی با 1% وزنی نانولوله کربنی و 2% درصد وزنی آلومینیا بعنوان تقویت کننده حداکثر تا 9 پاس نورد با این روش تولید شدند. ورق آلومینیوم بدون تقویت کننده نیز جهت تولید نمونه‌ی شاهد، حداکثر تا 13 پاس نورد با این روش تولید گردید. شماتیک فرایند اتصال نورد اباحتی ترکیبی در شکل 1 نشان داده شده است.

### 3-نتایج و بحث

#### 3-1- خواص مکانیکی کامپوزیت‌های تولید شده

منحنی تغییرات استحکام کششی آلومینیوم خالص و دو کامپوزیت بر حسب تعداد پاس نورد در شکل 2 نشان داده شده است. منحنی تنش سیلان بر حسب تعداد پاس نورد را می‌توان به سه ناحیه تقسیم کرد. منطقه‌ی اول مربوط به چهار پاس ابتدایی نورد می‌باشد که افزایش سطح تنش با افزایش پاس به کندی صورت می‌گیرد. علت آن ایجاد کار نرمی ناشی از حذف و بازآرایی نابجایی‌ها و کاهش چگالی آنها با خاطر آنل بین پاسی به مدت یک ساعت و در دمای 350°C می‌باشد که باعث کاهش اثر کارسختی ناشی از نورد می‌شود [17]. منطقه‌ی دوم بعلت حذف عملیات آنل بعد از هر پاس، سطح تنش با شدت بیشتری افزایش می‌یابد که علت آن ایجاد کارسختی در هر پاس نورد می‌باشد و افزایش استحکام بعلت افزایش چگالی نابجایی‌ها می‌باشد [18].

منطقه‌ی سه مربوط به پاس‌های انتهایی نورد می‌باشد که بعلت رسیدن به حالت اشباع در تولید نابجایی و ریزدانه شدن ساختار، افزایش سطح تنش با سرعت کمتری حاصل می‌گردد. رفتار استحکام‌بخشی در کرنش‌های بالا در مواد فوق ریز دانه که توسط فرایند تغییر شکل پلاستیک شدید تولید می‌شوند در پاس‌های بالا یک حالت اشباع از خود نشان می‌دهد که توسط (Xing) گزارش شده است [19]. علاوه بر آن حالت پایدار در چگالی نابجایی‌ها را می‌توان به تعادل بین بوجود آمدن نابجایی‌ها در اثر فرایند نورد و از بین رفتان آن‌ها توسط پدیده بازیابی دینامیکی نسبت داد [20]. در پاس‌های مشابه، سطح تنش در کامپوزیت Al/CNT/Al<sub>2</sub>O<sub>3</sub> نسبت به کامپوزیت Al/CNT با مقدار بالاتری دارد که بدلیل حضور ذرات آلومینیا و ایجاد حلقه‌های اورون

### 3-2- بررسی تأثیر فرایند اتصال نورد انباشتی ترکیبی بر اندازه دانه‌ها کامپوزیت

شکل 4 الگوی پراش پرتو ایکس کامپوزیت زمینه آلومینیومی تقویت شده با نانولوله‌ی کربنی و شکل 5 الگوی پراش پرتو ایکس کامپوزیت زمینه آلومینیومی هیبریدی تقویت شده با نانولوله‌ی کربنی و آلومینا را نشان می‌دهد.

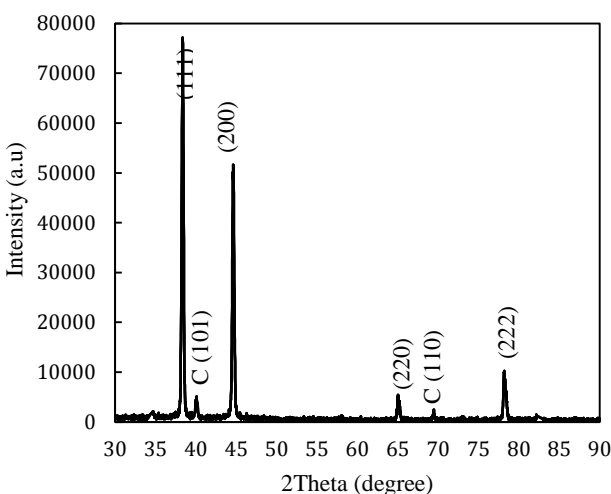
با استفاده از روش ویلیامسون-هال و الگوی پراش اشعه ایکس می‌توان اندازه کریستالیت‌ها را بدست آورد [22].

رابطه ویلیامسون-هال به صورت (1) می‌باشد:

$$\beta \cos\theta = (K\lambda/d) + 2Ae \sin\theta \quad (1)$$

که در این رابطه  $\beta$  برابر با پهنای پیک در نصف ارتفاع،  $\lambda$  طول موج پرتو ایکس (0.154 نانومتر برای کاتد مس  $k\alpha$ )،  $\theta$  زاویه پراش پرتو ایکس،  $A$  ثابت ثابت ( $A=1$ )،  $e$  میزان کرنش شبکه و  $d$  نیز اندازه کریستالیت و  $K$  ثابت شسر ( $k=0.91$ ) می‌باشد. برای محاسبه مقدار  $\beta$  از نرم افزار سیگما پلات و ایکس پرت استفاده گردید. همانطور که از نوع معادله مشخص است، اگر داده های مربوط به  $\beta \cos\theta$  بر حسب  $\sin\theta$  می‌باشد، برای چندین پیک در الگوی تفرق اشعه ایکس در زوایای مختلف رسم شود، باستی بر روی یک خط راست واقع شوند که از روی شیب آن می‌توان کرنش و از روی عرض از مبدأ آن می‌توان اندازه کریستالیت را تعیین کرد [23].

شکل 6 تغییرات اندازه کریستالیت برای آلومینیوم خالص و کامپوزیت تقویت شده با نانولوله‌ی کربنی و همچنین کامپوزیت هیبریدی تقویت شده با نانولوله‌ی کربنی و آلومینا را بر حسب تعداد پاس نورد نشان می‌دهد. نتایج نشان می‌دهند که در اثر فرایند اتصال نورد انباشتی ترکیبی، اندازه‌ی کریستالیت‌های آلومینیوم خالص از 51.3 nm در پاس اول به 12.4 μm در پاس 13 کاهش یافته است، در حالیکه این مقدار برای کامپوزیت تقویت شده با 1% نانولوله‌ی کربنی برابر 44.7 nm در پاس 11، و برای کامپوزیت هیبریدی تقویت شده با 1% نانولوله‌ی کربنی و 2% آلومینا، برابر 53.3 nm در پاس 9 می‌باشد.



**Fig. 4** X-ray diffraction pattern of Al/CNT composite in eleventh cycle  
**شکل 4** الگوی پراش اشعه ایکس کامپوزیت Al/CNT در پاس 11 نورد

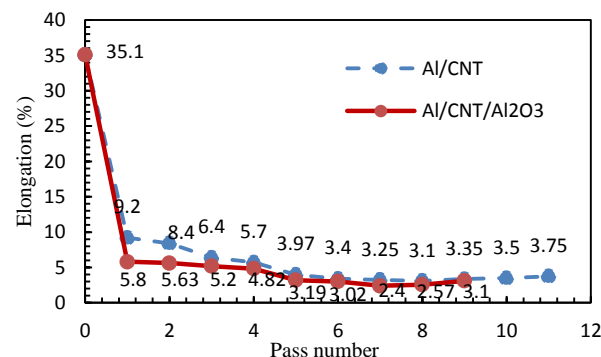
**جدول 2** درصد افزایش استحکام کششی نهایی برای کامپوزیت‌های Al/CNT و Al/CNT/Al<sub>2</sub>O<sub>3</sub> نسبت به استحکام کششی نهایی ورق آلومینیوم آنل شده در پاس‌های نورد

**Table 2** percent of ultimate tensile strength increase for Al/CNT and Al/CNT/Al<sub>2</sub>O<sub>3</sub> composites than pure Aluminum

	تعداد پاس نورد	9	7	5	3	1	
ورق Al	334%	270%	180%	102%	54%		
کامپوزیت Al/CNT	394%	351%	254%	140%	60%		
کامپوزیت Al/CNT/Al <sub>2</sub> O <sub>3</sub>	465%	442%	357%	188%	82%		

بنابراین می‌توان نتیجه گرفت افزودن نانولوله‌ی کربنی میزان افزایش استحکام کششی آلومینیوم خالص را به میزان 60% بهبود داده است و این بعلت تحمل بخشی از بار کششی توسط نانولوله‌های کربنی و همچنین کمک به تولید بیشتر نابجایی و افزایش کار سختی می‌باشد. همچنین این مقادیر در پاس 9 کامپوزیت Al/CNT/Al<sub>2</sub>O<sub>3</sub> به میزان 465% می‌باشد که 71% بیشتر از استحکام کششی کامپوزیت Al/CNT Al می‌باشد و استفاده‌ی همزمان نانولوله‌کربنی و آلومینا، به میزان 131% استحکام کششی آلومینیوم خالص را افزایش داده است.

همانگونه که در شکل 3 مشاهده می‌شود با افزایش پاس، انعطاف‌پذیری در هر دو کامپوزیت کاهش می‌یابد که علت آن کارسختی ایجاد شده در ورق آلومینیوم و همچنین تأثیر ذرات تقویت‌کننده بر روی نابجایی‌ها است که مانع حرکت نابجایی‌ها می‌شوند. در پاس‌های انتهایی میزان انعطاف‌پذیری به میزان جزئی افزایش می‌یابد که یک دلیل آن می‌تواند ریزدانه شدن ساختار در پاس‌های پایانی نورد باشد که لغزش دانه‌ها روی هم را تسهیل می‌کند دلیل دیگر در افزایش انعطاف‌پذیری در پاس‌های انتهایی را می‌توان بهتر شدن پراکنش تقویت‌کننده‌ها بین ورق‌ها بعلت چرخش ورق‌ها به اندازه 90 درجه حول محور عمود بر جهت نورد بعد از هر پاس و کاهش تخلخل در اطراف آن‌ها دانست که باعث بهبود کیفیت پیوند ورق‌ها شده و انعطاف‌پذیری کمی افزایش می‌یابد [22].



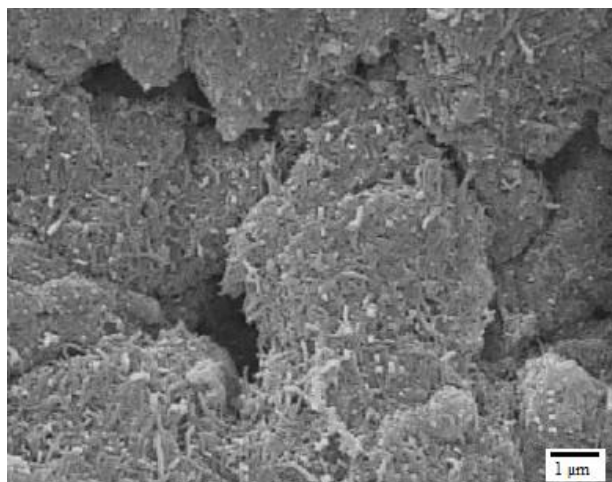
**Fig. 3** variation of elongation vs. pass number for Al/CNT and Al/CNT/Al<sub>2</sub>O<sub>3</sub> composites

**شکل 3** تغییرات انعطاف‌پذیری کامپوزیت Al/CNT و Al/CNT/Al<sub>2</sub>O<sub>3</sub> بر حسب تعداد پاس نورد

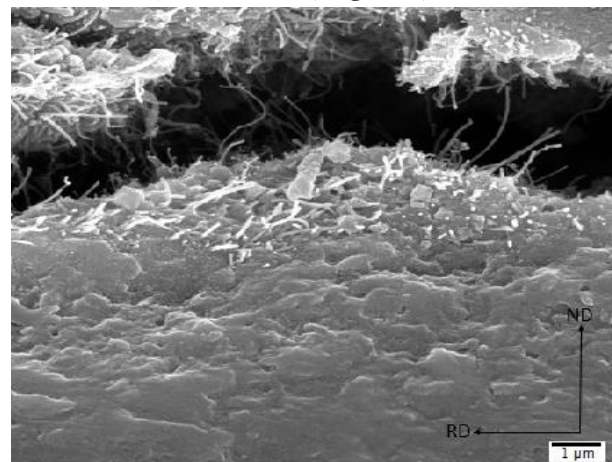
باید و آنها دانه‌های فرعی را بوجود می‌آورند. دانه‌های بوجود آمده در این مرحله مرزهایی با زاویه کم هستند. در مراحل بعدی فرایند مرزهای کم-زاویه تبدیل به مرزهای با زاویه زیاد می‌شوند و درنتیجه دانه‌های فراریز در کل ساختار توسعه پیدا می‌کنند.

### 3-3- بررسی ریزساختار نمونه‌های تولید شده توسط فرایند اتصال نورد انباستی ترکیبی

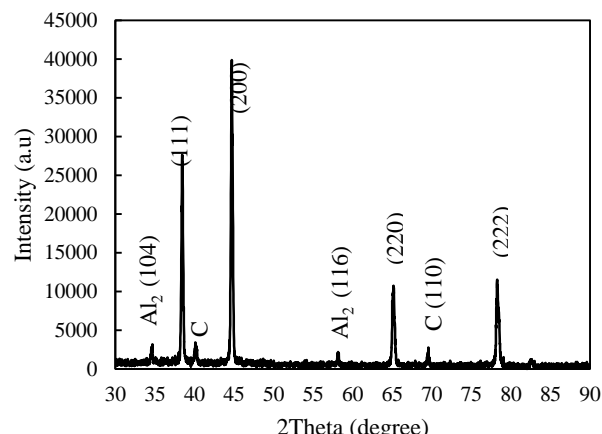
شکل 7 ریزساختار کامپوزیت Al/CNT در پاس اول و شکل 8 ریزساختار کامپوزیت Al/CNT در پاس یازدهم نورد را نشان می‌دهد. همانطور که در شکل 7 مشاهده می‌شود کلوخه‌های نانوکربنی (فلش نشان داده شده است) که اندازه کلوخه‌ها بیشتر از یک میکرومتر می‌باشد با افزایش تعداد پاس، پراکنش نانولوله‌های کربنی ریزتر و متعاقباً یکنواخت‌تر شده است به صورتی که در پاس 11 کلوخه‌ها به ذرات نانو کربنی کربنی توسط فشار ناشی از غلتک‌ها و تنفس برشی ناشی از نورد می‌باشد [26]. با شکسته شدن کلوخه‌های نانولوله‌ی کربنی و بهبود پراکنش آنها، تخلخل اطراف کلوخه‌ها کاهش یافته و این باعث می‌شود کیفیت اتصال پیوند بین ذرات نانولوله‌ی کربنی و فلز آلومینیوم و همچنین کیفیت اتصال پیوند بین دو ورق آلومینیوم بهتر شود و در نهایت به بهبود استحکام کامپوزیت کمک می‌کند [27].



شکل 7 تصویر میکروسکوب الکترونی کامپوزیت Al/CNT در پاس اول

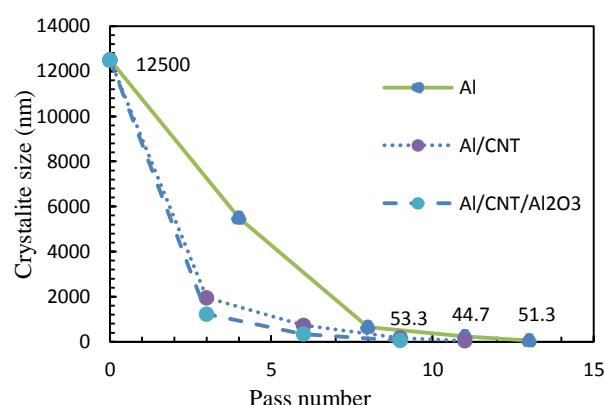


شکل 8 تصویر میکروسکوب الکترونی کامپوزیت Al/CNT در پاس یازدهم



شکل 5 الگوی پراش اشعه ایکس کامپوزیت Al/CNT/Al<sub>2</sub>O<sub>3</sub> در پاس 9 نورد

شکل 5 الگوی پراش اشعه ایکس کامپوزیت Al/CNT/Al<sub>2</sub>O<sub>3</sub> در پاس 9 نورد



شکل 6 تغییرات اندازه دانه بر حسب تعداد پاس نورد برای آلومینیوم خالص و کامپوزیت‌های Al/CNT و Al/CNT/Al<sub>2</sub>O<sub>3</sub>

این موضوع نشان می‌دهد که با افزایش میزان تقویت‌کننده‌ها به ازاء تعداد پاس نورد یکسان، نرخ کارسختی افزایش یافته و موقع بازیابی در کرنش‌های کمتر و ریزدانه سازی در اثر تبلور مجدد دینامیکی، نرخ ریزدانه‌سازی افزایش می‌باید [24, 25].

علاوه بر این، مهمترین مکانیزم تأثیرگذار در ریزدانگی کامپوزیت‌های تولید شده به روش اتصال نورد انباستی ترکیبی، تغییرشکل برشی شدید در زیر سطح ورق می‌باشد. اصطکاک بین نواهای فلزی و غلطک‌های عاری از روآنساز نقش مهمی را در ریزدانگی بوسیله نورد بازی می‌کند. این تغییرشکل برشی افزایش قابل ملاحظه‌ای را در کرنش معادل و توسعه‌ی ریزدانگی دارد. علاوه بر این، با تکرار نورد ناحیه‌ی تغییرشکل شدید یافته به داخل ورق انتقال می‌باید. پس از چند سیکل، سرتاسر ضخامت ورق تغییر شکل شدید می‌باید.

تسویجی و همکارانش [25] مکانیزم ریز شدن دانه‌ها در فرایند اتصال نورد انباستی تقسیم شدن دانه‌ها عنوان کردند. در این مکانیزم دانه‌های درشت اولیه بواسطه‌ی تغییر فرم پلاستیک اعمالی به چند دانه کوچکتر تقسیم می‌شوند. به این صورت که در پاس‌های ابتدایی تعداد زیادی نابجایی در ساختار بوجود می‌آید و در پاس‌های بعدی دانسیته‌ی نابجایی‌ها افزایش می-

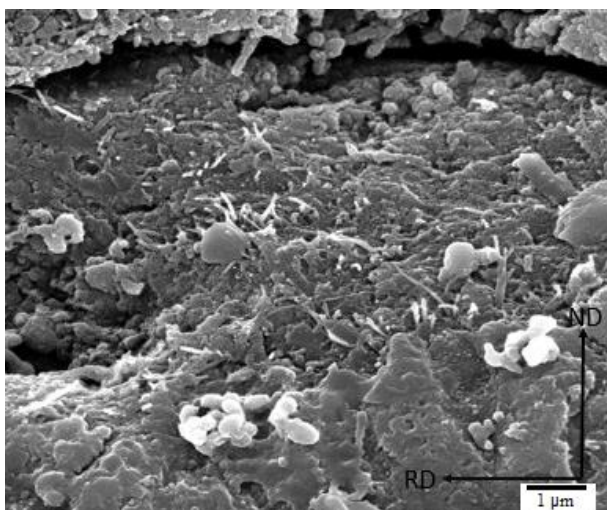


Fig. 10 FSEM micrograph of the Al/CNT/Al<sub>2</sub>O<sub>3</sub> composite in the eighth cycle

شکل 10 تصویر میکروسکوپ الکترونی کامپوزیت Al/CNT/Al<sub>2</sub>O<sub>3</sub> در پاس هشتم

## 5-مراجع

- [1] Eizadjou, M., Manesh, H.D. and Janghorban, K., "Microstructure and mechanical properties of ultra-fine grains (UFGs) aluminum strips produced by ARB process" Journal of Alloys and Compounds, Vol. 474, No. 1, pp. 406-415, 2009.
- [2] Pirgazi, H., Akbarzadeh, A., Petrov, R. and Kestens, L., "Microstructure evolution and mechanical properties of AA1100 aluminum sheet processed by accumulative roll bonding" Materials Science and Engineering: Vol. 497, No. 1, pp. 132-138, 2008.
- [3] Lee, S.H., Saito, Y., Sakai, T. and Utsunomiya, H., "Microstructures and mechanical properties of 6061 aluminum alloy processed by accumulative roll-bonding" Materials Science and Engineering: A, Vol. 325, No. 1, pp.228-235, 2002.
- [4] Chung, Y.H., Park, J.W. and Lee, K.H., "An analysis of accumulated deformation in the equal channel angular rolling (ECAR) process" Metals and Materials International, Vol. 12, No. 4, pp.289-292, 2006.
- [5] Tsuji, N., Saito, Y., Lee, S.H. and Minamino, Y., "ARB (Accumulative Roll-Bonding) and other new techniques to produce bulk ultrafine grained materials" Advanced Engineering Materials, Vol. 5, No. 5, pp.338-344, 2003.
- [6] Shaarbaf, M. and Toroghinejad, M.R., "Nano-grained copper strip produced by accumulative roll bonding process" Materials Science and Engineering: A, Vol. 473, No. 1, pp.28-33, 2008.
- [7] Shamanian, M., Mohammadnezhad, M., Asgari, H., & Szpunar, J. "Fabrication and characterization of Al-Al<sub>2</sub>O<sub>3</sub>-ZrC composite produced by accumulative roll bonding (ARB) process". Journal of Alloys and Compounds, Vol. 618, NO. 1, pp 19-26, 2015.
- [8] Salimi, S., H. Izadi, and A. P. Gerlich. "Fabrication of an aluminum-carbon nanotube metal matrix composite by accumulative roll-bonding." Journal of materials science, Vol. 46, No. 2, pp. 409-415, 2001.
- [9] Jamaati, R., Toroghinejad, M.R. and Najafizadeh, A., 2010. "Application of anodizing and CAR processes for manufacturing Al/Al<sub>2</sub>O<sub>3</sub> composite". Materials Science and Engineering, Vol. 527, No. 16, pp. 3857-3863, 2010.
- [10] Amirkhanlou, S., Jamaati, R., Niroumand, B. and Toroghinejad, M.R., "Fabrication and characterization of Al/SiC p composites by CAR process" Materials Science and Engineering: A, Vol. 528, No. 13, pp.4462-4467, 2011.
- [11] Ruppert, M., Höppel, H.W. and Göken, M., "Influence of cross-rolling on the mechanical properties of an accumulative roll bonded aluminum alloy AA6014", Materials Science and Engineering, Vol. 597, No. 1, pp.122-127, 2014.
- [12] Alizadeh, M. and Paydar, M.H., "High-strength nanostructured Al/B<sub>4</sub>C composite processed by cross-roll accumulative roll bonding" Materials Science and Engineering: A, Vol. 538, No. 1, pp.14-19, 2012.

شکل‌های 9 و 10 مقطع عرضی کامپوزیت هیبریدی Al/CNT/Al<sub>2</sub>O<sub>3</sub> بترتیب در پاس 4 و 8 نورد را نشان می‌دهد. همانطور که مشاهده می‌شود نانولوله‌های کربنی که با پودر آلمینیا آسیاکاری شده اند، بدیل پیوندهای واندروالس بین نانولوله‌های کربنی و گره خوردن آن‌ها به یکدیگر، مانع از پراکنش خوب ذرات آلمینیا در کامپوزیت شده است. ولی در پاس‌های بالاتر بدیل شکسته شدن این پیوندها در اثر کار مکانیکی و تنفس‌های برشی ناشی از نورد و همچنین افزایش تعداد لایه‌های تقویت‌کننده، پراکنش ذرات آلمینیا در نانولوله‌ی کربنی در کامپوزیت بهبود یافته است.

## 4-نتیجه گیری

در کامپوزیت زمینه آلمینیومی با تقویت‌کننده نانولوله‌ی کربنی و کامپوزیت زمینه آلمینیومی هیبریدی با تقویت‌کننده نانولوله‌ی کربنی و آلمینیا که توسط فرایند اتصال نورد ابانتی ترکیبی تولید شده‌اند، خواص مکانیکی با افزایش تعداد پاس نورد نسبت به آلمینیوم خالص نورد شده افزایش چشمگیری را نشان می‌دهد. رابطه ویلیامسون-هال نشان می‌دهد که در کامپوزیت زمینه آلمینیومی تقویت شده با نانولوله‌ی کربنی، با افزایش پاس نورد، اندازه دانه‌های فرعی یافته است، بگونه‌ای که در پاس 11، اندازه دانه‌های فرعی به 44.7 nm و در پاس 9 کامپوزیت هیبریدی، اندازه آن‌ها به 53.3 nm کاهش یافت. همچنین عملیات آنیل و چرخش ورق‌ها به اندازه 90 درجه حول محور عمود بر جهت نورد بعد از هر پاس در مرحله‌ی اول، باعث توزیع بهتر ذرات تقویت‌کننده در هر دو کامپوزیت شد و با افزایش پاس نورد کلخه‌های تقویت‌کننده‌ها بین ورق‌های آلمینیوم کاهش یافته و باعث بهبود کیفیت پیوند بین ورق‌های آلمینیوم و همچنین بین تقویت‌کننده‌ها و ورق آلمینیوم شده و با انتقال بخشی از بار کششی به تقویت‌کننده‌ها، منجر به افزایش استحکام کششی هر دو کامپوزیت شده است.

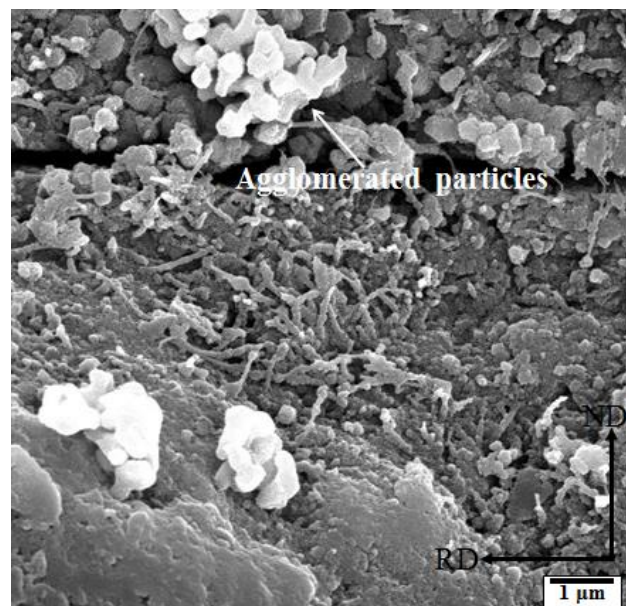


Fig. 9 FSEM micrograph of the Al/CNT/Al<sub>2</sub>O<sub>3</sub> composite in the fourth cycle

شکل 9 تصویر میکروسکوپ الکترونی کامپوزیت Al/CNT/Al<sub>2</sub>O<sub>3</sub> در پاس چهارم

- [13] Hashemi, M., Jamaati, R. and Toroghinejad, M.R., "Microstructure and mechanical properties of Al/SiO<sub>2</sub> composite produced by CAR process" Materials Science and Engineering: A, Vol. 532, No. 1, pp.275-281, 2012.
- [14] Alizadeh, M., "Comparison of nanostructured Al/B<sub>4</sub>C composite produced by ARB and Al/B<sub>4</sub>C composite produced by RRB process" Materials Science and Engineering: A, Vol. 528, No.2, pp.578-582, 2010.
- [15] Alizadeh M, Salahinejad E. "A comparative study on metal–matrix composites fabricated by conventional and cross accumulative roll-bonding processes". Journal of Alloys and Compounds. Vol. 620, No. 1, pp.180-184,2015.
- [16] Kwan, C., Wang, Z. and Kang, S.B., "Mechanical behavior and microstructural evolution upon annealing of the accumulative roll-bonding (ARB) processed Al alloy 1100" Materials Science and Engineering: A, Vol. 480, No. 1, pp.148-159, 2008.
- [17] El Mahallawy, N., Fathy, A., Abdelazem, W. and Hassan, M.. "Microstructure evolution and mechanical properties of Al/Al-12% Si multilayer processed by accumulative roll bonding (ARB)". Materials Science and Engineering: A, Vol 647, No. 1, pp.127-135, 2015.
- [18] Alizadeh, M., "Comparison of nanostructured Al/B<sub>4</sub>C composite produced by ARB and Al/B<sub>4</sub>C composite produced by RRB process" Materials Science and Engineering: A, Vol. 528, No. 2, pp.578-582, 2010.
- [19] Xing, J., Yang, X., Miura, H. and Sakai, T., "Mechanical properties of magnesium alloy AZ31 after severe plastic deformation" Materials transactions, Vol.49, No.1, pp.69-75, 2008.
- [20] Yu HL, Lu C, Tieu AK, Li HJ, Godbole A, Zhang SH. "Special Rolling Techniques for Improvement of Mechanical Properties of Ultrafine-Grained Metal Sheets" A Review. Advanced Engineering Materials. Vol. 18, No. 5, pp.754-69,2016.
- [21] Zhang, Z., and D. L. Chen. "Consideration of Orowan strengthening effect in particulate-reinforced metal matrix nanocomposites: a model for predicting their yield strength." Scripta Materialia, Vol. 54, No. 7, pp. 1321-1326,2006.
- [22] Jamaati, R., Amirkhanlou, S., Toroghinejad, M.R. and Niroumand, B., "Effect of particle size on microstructure and mechanical properties of composites produced by ARB process" Materials Science and Engineering: A, Vol. 528, No.4 , pp.2143-2148, 2011.
- [23] Naseri, M., Hassani, A. and Tajally, M., "An alternative method for manufacturing Al/B<sub>4</sub>C/SiC hybrid composite strips by cross accumulative roll bonding (CARB) process". Ceramics International,Vol. 41, No. 10 , pp.13461-13469, 2015.
- [24] Schmidt, C.W., Knieke, C., Maier, V., Höppel, H.W., Peukert, W. and Göken, M., "Accelerated grain refinement during accumulative roll bonding by nanoparticle reinforcement". Scripta Materialia, Vol. 64, No. 3, pp. 245-248, 2011.
- [25] Naseri, M., Hassani, A. and Tajally, M., "Fabrication and characterization of hybrid composite strips with homogeneously dispersed ceramic particles by severe plastic deformation" Ceramics International, Vol. 41, No. 3, pp.3952-3960, 2015.
- [26] Jamaati, R., Amirkhanlou, S., Toroghinejad, M. R., & Niroumand, B, "Effect of particle size on microstructure and mechanical properties of composites produced by ARB process". Materials Science and Engineering, Vol. 528, No. 4, pp. 2143-2148, 2011.
- [27] Saito, Y., Utsunomiya, H., Tsuji, N. and Sakai, T., "Novel ultra-high straining process for bulk materials—development of the accumulative roll-bonding (ARB) process" Acta materialia, Vol. 47, No. 2, pp.579-583, 1999.